

# LELEC1101 - Projet d'électricité

## Problème 1 - Séries de Fourier, transformation non-linéaire

### Groupe 3

DE BROUX Michel (0000-00-00)

COLPIN Lionel (0000-00-00)

DEPREZ Damien (2893-13-00)

MARTINELLE Thibault (0000-00-00)

PARIS Antoine (3158-13-00)

19 février 2015

## 1 Introduction

On s'intéresse ici à un signal triangulaire  $u(t)$  périodique, symétrique, de période  $T$  et de valeurs minimales et maximales  $V_{\min}$  et  $V_{\max}$  respectivement. On peut décomposer cette fonction en série de Fourier

$$u(t) = A_0 + \sum_{k=1}^{\infty} A_k \cos(k\omega t) + \sum_{k=1}^{\infty} B_k \sin(k\omega t). \quad (1)$$

où  $\omega = \frac{2\pi}{T}$  est la pulsation angulaire. La composante constante  $A_0$  et les coefficients  $A_k$  et  $B_k$  sont donnés par

$$A_0 = \frac{1}{T} \int_0^T u(t) dt, \quad (2)$$

$$A_k = \frac{2}{T} \int_0^T u(t) \cos(k\omega t) dt, \quad (3)$$

$$B_k = \frac{2}{T} \int_0^T u(t) \sin(k\omega t) dt. \quad (4)$$

## 2 Séries de Fourier

Etablissons dans un premier temps la série de Fourier dans le cas particulier où le signal triangulaire est symétrique (i.e.  $u(t) = u(-t)$ ) et centrée autour de l'axe de  $t$ . Dans ce

cas particulier, on a  $A_0 = 0$  et  $B_k = 0$ . On peut donc réécrire la décomposition en série de Fourier

$$u(t) = \sum_{k=1}^{\infty} A_k \cos(k\omega t).$$

Calculons maintenant les coefficients

$$A_k = \frac{2}{T} \int_0^T u(t) \cos(k\omega t) dt.$$

Pour cela, on décompose  $u(t)$  sur l'intervalle  $[0, T]$  en deux parties

$$u(t) = \begin{cases} V_{\max} - \frac{2(V_{\max}-V_{\min})}{T}t & \text{pour } t \in [0, \frac{T}{2}] \\ 2V_{\min} + \frac{2(V_{\max}-V_{\min})}{T}t & \text{pour } t \in [\frac{T}{2}, T] \end{cases}$$

On peut alors facilement décomposer l'intégrale en deux parties. On trouve donc <sup>1</sup>

$$A_k = \frac{2}{\pi^2 k^2} (V_{\max} - V_{\min}) (1 - (-1)^k).$$

où  $\cos(k\pi)$  a été remplacé par  $(-1)^k$ . On a finalement

$$u(t) = \frac{2}{\pi^2} (V_{\max} - V_{\min}) \sum_{k=1}^{\infty} \frac{1}{k^2} (1 - (-1)^k) \cos(k\omega t).$$

On peut ensuite vérifier, à l'aide de MATLAB, que cette décomposition en série de Fourier converge effectivement vers le signal triangulaire. La figure 1 est la décomposition en série de Fourier pour  $k = 1 \dots 19$  pour  $T = 1$  s et  $V_{\max} = -V_{\min} = 2$  V.

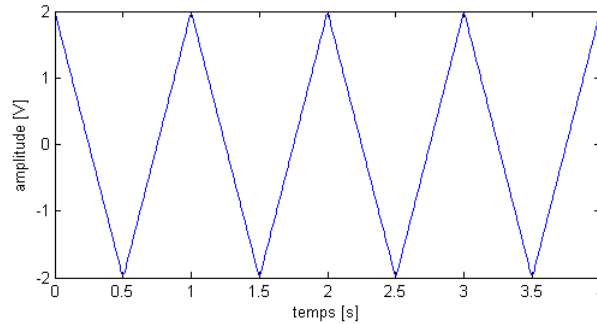


FIGURE 1: Décomposition en série de Fourier pour  $k = 1 \dots 19$ .

Passons maintenant au cas général, c'est à dire avec une origine des temps quelconque. La série doit maintenant s'écrire sous la forme

$$u(t) = \sum_{k=-\infty}^{\infty} C_k e^{jk\omega t}. \quad (5)$$

---

1. Les détails de calculs sont omis ici.

Il s'agit ensuite d'exprimer  $C_k$  en fonction de  $A_k$  et  $B_k$  et de trouver une expression simple pour  $C_k$  faisant usage d'exponentielles complexes. Pour ce faire, on utilise les relations suivantes

$$\begin{aligned}\cos(k\omega t) &= \frac{e^{jk\omega t} + e^{-jk\omega t}}{2}, \\ \sin(k\omega t) &= \frac{e^{jk\omega t} - e^{-jk\omega t}}{2j}\end{aligned}$$

dans l'équation 1

$$u(t) = A_0 + \sum_{k=1}^{\infty} A_k \left( \frac{e^{jk\omega t} + e^{-jk\omega t}}{2} \right) + \sum_{k=1}^{\infty} B_k \left( \frac{e^{jk\omega t} - e^{-jk\omega t}}{2j} \right).$$

On met un peu d'ordre dans cette expression et on l'égalise ensuite à l'équation 5

$$A_0 + \sum_{k=1}^{\infty} \frac{(A_k - jB_k)}{2} e^{jk\omega t} + \sum_{k=1}^{\infty} \frac{(A_k + jB_k)}{2} e^{-jk\omega t} = \sum_{k=-\infty}^{\infty} C_k e^{jk\omega t}.$$

De cette égalité, on retire

$$C_k = \begin{cases} A_0 & \text{pour } k = 0 \\ \frac{(A_k - jB_k)}{2} & \text{pour } k = 1, 2, 3, \dots \\ \frac{(A_{-k} + jB_{-k})}{2} & \text{pour } k = -1, -2, -3, \dots \end{cases}$$

En sachant que  $A_0$ ,  $A_k$  et  $B_k$  sont donnés respectivement par les équations 2, 3 et 4, on peut calculer  $C_k$  dans les trois cas. On montre facilement que

$$C_k = \frac{1}{T} \int_0^T u(t) e^{-jk\omega t} dt$$

dans les trois cas. Cette façon de procéder est tirée de [1]. Il ne nous reste plus maintenant qu'à prouver que  $C_{-k} = C_k^*$  dans le cas d'un signal réel, c'est à dire  $u(t) \in \mathbb{R}$ . On trouve très facilement que

$$C_{-k} = \frac{1}{T} \int_0^T u(t) e^{jk\omega t} dt. \quad (6)$$

Il reste à calculer  $C_k^*$ . En utilisant les propriétés du complexe conjugué et en sachant que  $u(t) \in \mathbb{R}$ , on a successivement

$$\begin{aligned}C_k^* &= 1/T \left( \int_0^T u(t) e^{-jk\omega t} dt \right)^* \\ &= 1/T \int_0^T (u(t) e^{-jk\omega t})^* dt \\ &= 1/T \int_0^T (u(t))^* (e^{-jk\omega t})^* dt \\ &= 1/T \int_0^T u(t) e^{jk\omega t} dt.\end{aligned}$$

Cette expression est effectivement égale à l'équation 6.

### 3 Transformation non-linéaire

On considère pour cette question un système non-linéaire dont le signal d'entrée est donné par  $x$  et la sortie par  $h(x)$ . Dans notre cas, le signal d'entrée  $x$  est  $u(t)$ , le signal triangulaire de la question précédente et  $h(x)$  est une transformation non-linéaire donnée par son développement de Taylor jusqu'à l'ordre 3 :  $h(x) \approx a + bx + cx^2 + dx^3$ . Comme annoncé, les ordres 0 et 1 s'obtiennent trivialement. L'ordre 2 en revanche nécessite un peu plus de manipulation. Repartons de l'équation 1, que l'on élève au carré

$$u^2(t) = A_0^2 + \left( \sum_{k=1}^{\infty} A_k \cos(k\omega t) \right)^2 + \left( \sum_{k=1}^{\infty} B_k \sin(k\omega t) \right)^2 \\ + 2A_0 \sum_{k=1}^{\infty} A_k \cos(k\omega t) + 2A_0 \sum_{k=1}^{\infty} B_k \sin(k\omega t) + 2 \sum_{k=1}^{\infty} A_k \cos(\omega t) \sum_{k=1}^{\infty} B_k \sin(k\omega t).$$

On peut mettre un peu d'ordre en utilisant des doubles sommes sur des paires d'indices  $(k_1, k_2)$

$$u^2(t) = A_0^2 + \sum_{k_1=1}^{\infty} \sum_{k_2=1}^{\infty} A_{k_1} A_{k_2} \cos(k_1\omega t) \cos(k_2\omega t) + \sum_{k_1=1}^{\infty} \sum_{k_2=1}^{\infty} B_{k_1} B_{k_2} \sin(k_1\omega t) \sin(k_2\omega t) \\ + 2A_0 \sum_{k_1=1}^{\infty} A_{k_1} \cos(k_1\omega t) + 2A_0 \sum_{k_1=1}^{\infty} B_{k_1} \sin(k_1\omega t) + 2 \sum_{k_1=1}^{\infty} \sum_{k_2=1}^{\infty} A_{k_1} B_{k_2} \cos(k_1\omega t) \sin(k_2\omega t).$$

On utilise ensuite les formules trigonométriques qui permettent de transformer un produit de fonctions sinusoïdales en une somme de fonctions sinusoïdales

$$u^2(t) = A_0^2 + \frac{1}{2} \sum_{k_1=1}^{\infty} \sum_{k_2=1}^{\infty} A_{k_1} A_{k_2} \cos((k_1 - k_2)\omega t) + \frac{1}{2} \sum_{k_1=1}^{\infty} \sum_{k_2=1}^{\infty} A_{k_1} A_{k_2} \cos((k_1 + k_2)\omega t) \\ + \frac{1}{2} \sum_{k_1=1}^{\infty} \sum_{k_2=1}^{\infty} B_{k_1} B_{k_2} \cos((k_1 - k_2)\omega t) - \frac{1}{2} \sum_{k_1=1}^{\infty} \sum_{k_2=1}^{\infty} B_{k_1} B_{k_2} \cos((k_1 + k_2)\omega t) \\ + \frac{1}{2} \sum_{k_1=1}^{\infty} \sum_{k_2=1}^{\infty} A_{k_1} B_{k_2} \sin((k_1 + k_2)\omega t) + \frac{1}{2} \sum_{k_1=1}^{\infty} \sum_{k_2=1}^{\infty} A_{k_1} B_{k_2} \sin((k_2 - k_1)\omega t) \\ + 2A_0 \sum_{k_1=1}^{\infty} A_{k_1} \cos(k_1\omega t) + 2A_0 \sum_{k_1=1}^{\infty} B_{k_1} \sin(k_1\omega t).$$

Enfin, en mettant en évidence,  $u^2(t)$  devient

$$\begin{aligned}
u^2(t) &= A_0^2 + \frac{1}{2} \sum_{k_1=1}^{\infty} \sum_{k_2=1}^{\infty} (A_{k_1} A_{k_2} + B_{k_1} B_{k_2}) \cos((k_1 - k_2)\omega t) \\
&+ \frac{1}{2} \sum_{k_1=1}^{\infty} \sum_{k_2=1}^{\infty} (A_{k_1} A_{k_2} - B_{k_1} B_{k_2}) \cos((k_1 + k_2)\omega t) \\
&+ \frac{1}{2} \sum_{k_1=1}^{\infty} \sum_{k_2=1}^{\infty} A_{k_1} B_{k_2} (\sin((k_1 + k_2)\omega t) + \sin((k_2 - k_1)\omega t)) \\
&+ 2A_0 \sum_{k_1=1}^{\infty} A_{k_1} \cos(k_1 \omega t) + B_{k_1} \sin(k_1 \omega t).
\end{aligned}$$

On voit donc facilement à partir de cette dernière équation comment calculer les coefficients de la décomposition harmonique de  $u^2(t)$  à partir des coefficients de la décomposition harmonique de  $u(t)$ . En considérant maintenant le signal  $u(t)$  symétrique,  $u^2(t)$  se simplifie (car  $B_k = 0$  par symétrie) et devient

$$\begin{aligned}
u^2(t) &= A_0^2 + \frac{1}{2} \sum_{k_1=1}^{\infty} \sum_{k_2=1}^{\infty} A_{k_1} A_{k_2} \cos((k_1 - k_2)\omega t) \\
&+ \frac{1}{2} \sum_{k_1=1}^{\infty} \sum_{k_2=1}^{\infty} A_{k_1} A_{k_2} \cos((k_1 + k_2)\omega t) \\
&+ 2A_0 \sum_{k_1=1}^{\infty} A_{k_1} \cos(k_1 \omega t).
\end{aligned}$$

Si en plus, la composante continue  $A_0$  du signal est nulle,  $u^2(t)$  se simplifie encore

$$u^2(t) = \frac{1}{2} \sum_{k_1=1}^{\infty} \sum_{k_2=1}^{\infty} A_{k_1} A_{k_2} \cos((k_1 - k_2)\omega t) + \frac{1}{2} \sum_{k_1=1}^{\infty} \sum_{k_2=1}^{\infty} A_{k_1} A_{k_2} \cos((k_1 + k_2)\omega t).$$

Enfin, considérons le cas où

$$h(x) = \frac{x}{\sqrt{(x/s)^2 + 1}}.$$

En observant le graphe de  $h(x)$  pour plusieurs valeurs de  $s$  (voir figure 2), on observe que ce paramètre règle en fait la saturation du circuit (on dit que le circuit sature quand la sortie n'augmente plus même si l'entrée augmente encore). On prouve également facilement que

$$\lim_{x \rightarrow \pm\infty} h(x) = s.$$

Le développement de Taylor jusqu'à l'ordre de 3 de  $h(x)$  autour de  $x = 0$  est donné par

$$h(x) \approx x - \frac{x^3}{2a^2}.$$

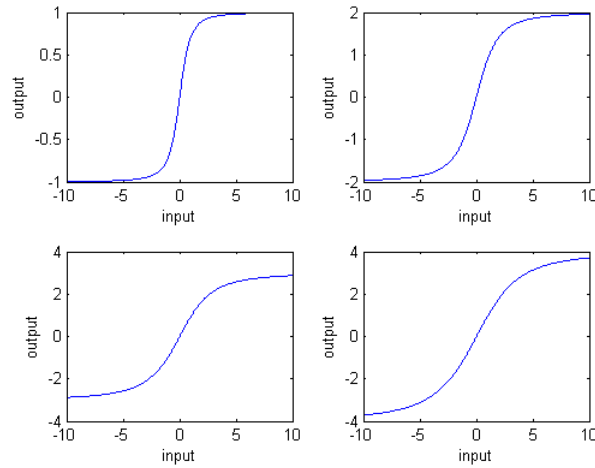


FIGURE 2: Graphe de la fonction  $h(x)$  pour  $s = 1 \dots 4$ .

A l'aide de MATLAB, on peut vérifier que cette transformation non-linéaire permet effectivement de transformer un signal triangulaire en un signal sinusoïdal. Cette transformation est illustrée à la figure 3.

Cherchons maintenant un rapport  $V/s$ , où  $V$  est l'amplitude du signal d'entrée du système, tel que la saturation soit "légère". Pour répondre à cette question, nous devons définir de manière plus précise ce qu'on appelle une saturation "légère". Nous avons choisis, arbitrairement<sup>2</sup>, la définition suivante : la saturation est légère lorsque l'amplitude de sortie vaut 95% de l'amplitude maximale de sortie.

$$h(V) = 0.95s.$$

On trouve alors que la saturation est légère pour

$$\frac{V}{s} \approx 3.$$

Il est toutefois important de noter que ce rapport dépend de la définition de saturation "légère" choisie.

## Références

- [1] Richard Prager. *First Year Engineering Mathematics*, pages 111–128. University of Cambridge, 2009.

---

2. Nous aurions également pu choisir une définition faisant intervenir la dérivée de  $h(x)$ , et indiquer que la saturation est légère lorsque  $\frac{dh}{dx} \approx 0.1$  par exemple, c'est à dire quand la pente de  $h(x)$  devient faible.

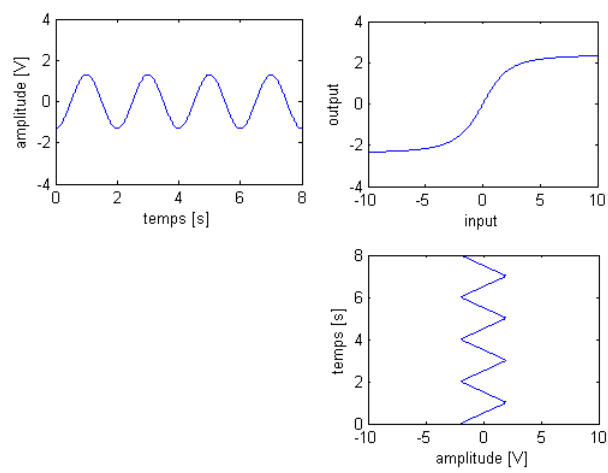


FIGURE 3: Le signal triangulaire en entrée de la transformation non-linéaire  $h(x)$  pour  $s = 2.4$  permet effectivement d'obtenir un signal sinusoïdal en sortie.